

2017/10/14 天体形成研究会

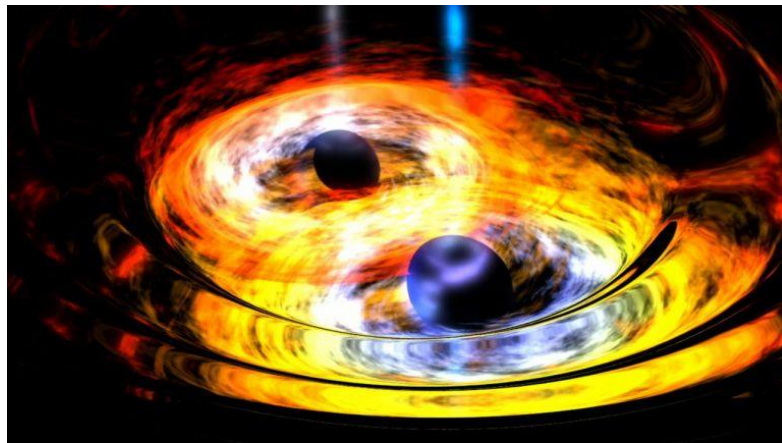
銀河中の大質量ブラックホールの 軌道収縮と合体過程

筑波大学 M2 石川 徹

研究背景

銀河中心に存在する巨大ブラックホールは、
どのような過程で形成、成長していくのかが
はっきりとわかっていない。

ガス降着による成長
or
ブラックホール同士の合体



研究背景

- 重力波検出

GW150914 $36 M_{\odot}$ と $29 M_{\odot}$ のBHの合体

GW151226 $14 M_{\odot}$ と $8 M_{\odot}$ のBHの合体

GW170104 $31 M_{\odot}$ と $19 M_{\odot}$ のBHの合体

GW170814 $31 M_{\odot}$ と $25 M_{\odot}$ のBHの合体

検出器「LIGO」が、今年ノーベル物理学賞を受賞！！

研究背景

先行研究

原始銀河中で、複数の巨大ブラックホールが合体できる (MBH)

- Tanikawa & Umemura 2011 :
原始銀河中の星による摩擦でのMBH同士の合体
- Tagawa et al. 2015, Tagawa et al. 2016 :
原始銀河中のガスによる摩擦でのMBH同士の合体

我々の研究

銀河系のような構造の中で、中心のMBHに
銀河の外からやってくるようなBHがどのように
軌道収縮して合体するのかを探る

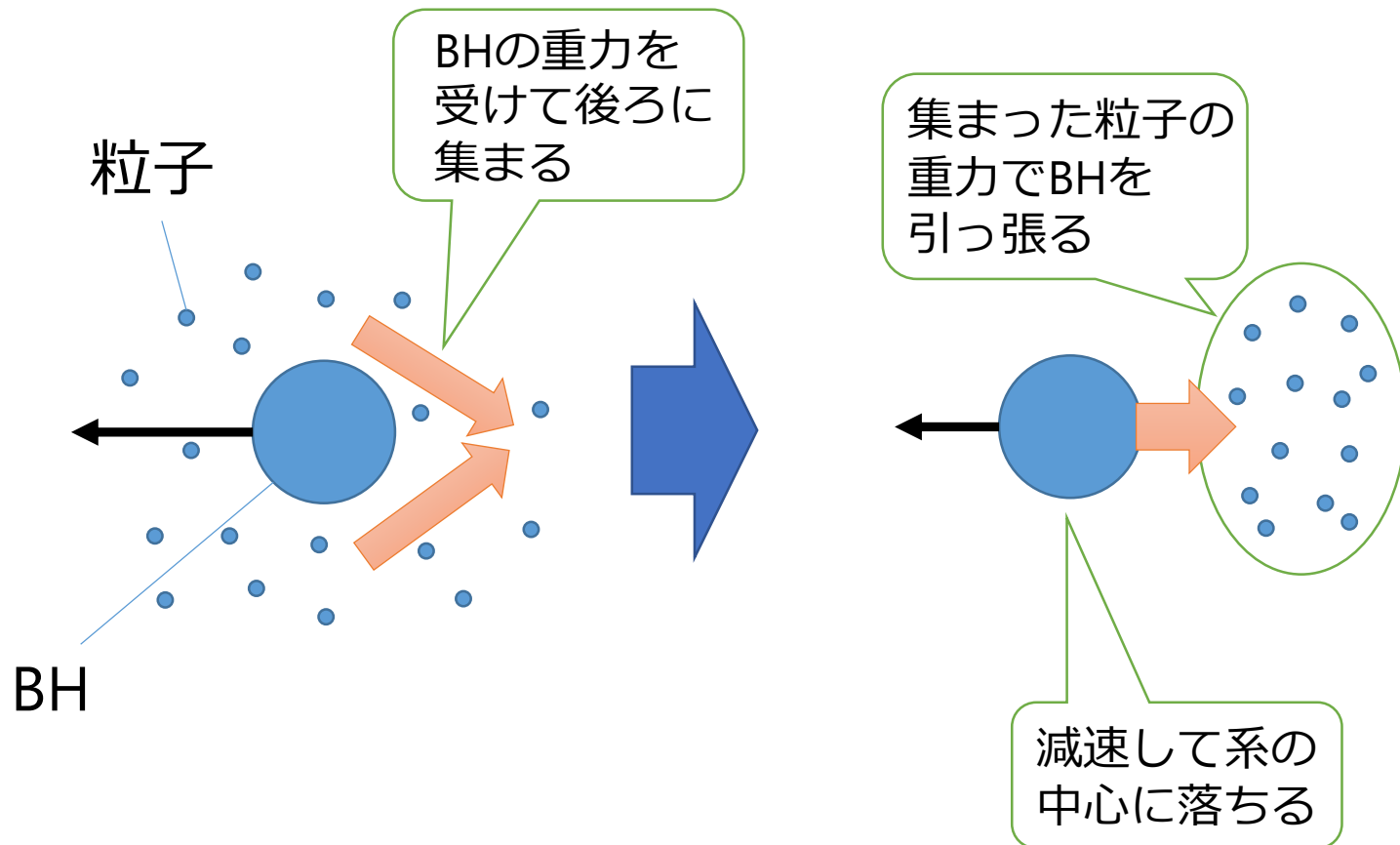
原理

BHが軌道収縮する要因

- ① 星・ガスの力学的摩擦
- ② バイナリーBHにもう1つのBHが近づくことによる角運動量の引き抜き（BHの3体相互作用）
- ③ 相対論効果（近日点移動、重力波放射）
- ④ 質量降着

原理①：星・ガスの力学的摩擦

星やガスの集団にBHが突っ込んでくる場合



原理①：星の力学的摩擦

チャンドラセカールの力学的摩擦の式
(Chandrasekhar 1943)

質量 m_{BH} のBHが質量 m_s の星の集団の中で摩擦を受ける

$$a_{\text{DF}}^{\text{star}} = -4\pi G^2 (m_{\text{BH}} + m_s) \rho \ln N \frac{v_{\text{BH}} - v_s}{|v_{\text{BH}} - v_s|^3}$$

N : 銀河中の星の数

ρ : 星の密度

原理①：ガスの力学的摩擦

- Ostriker 1999 :
亜音速、超音速でのバイナリー減衰の効果を理論的に考察

- Escala et al. 2004; Tanaka & Haiman 2009 :

↑を修正

$$a_{\text{DF}}^{\text{gas}} = -4\pi G^2 m \rho(r) \frac{1}{v^2} \times f(\mathcal{M})$$

m : BHの質量
 $\rho(r)$: ガス密度
 \mathcal{M} : BHのマッハ数
 $\Lambda = vt/r_{\text{min}}$

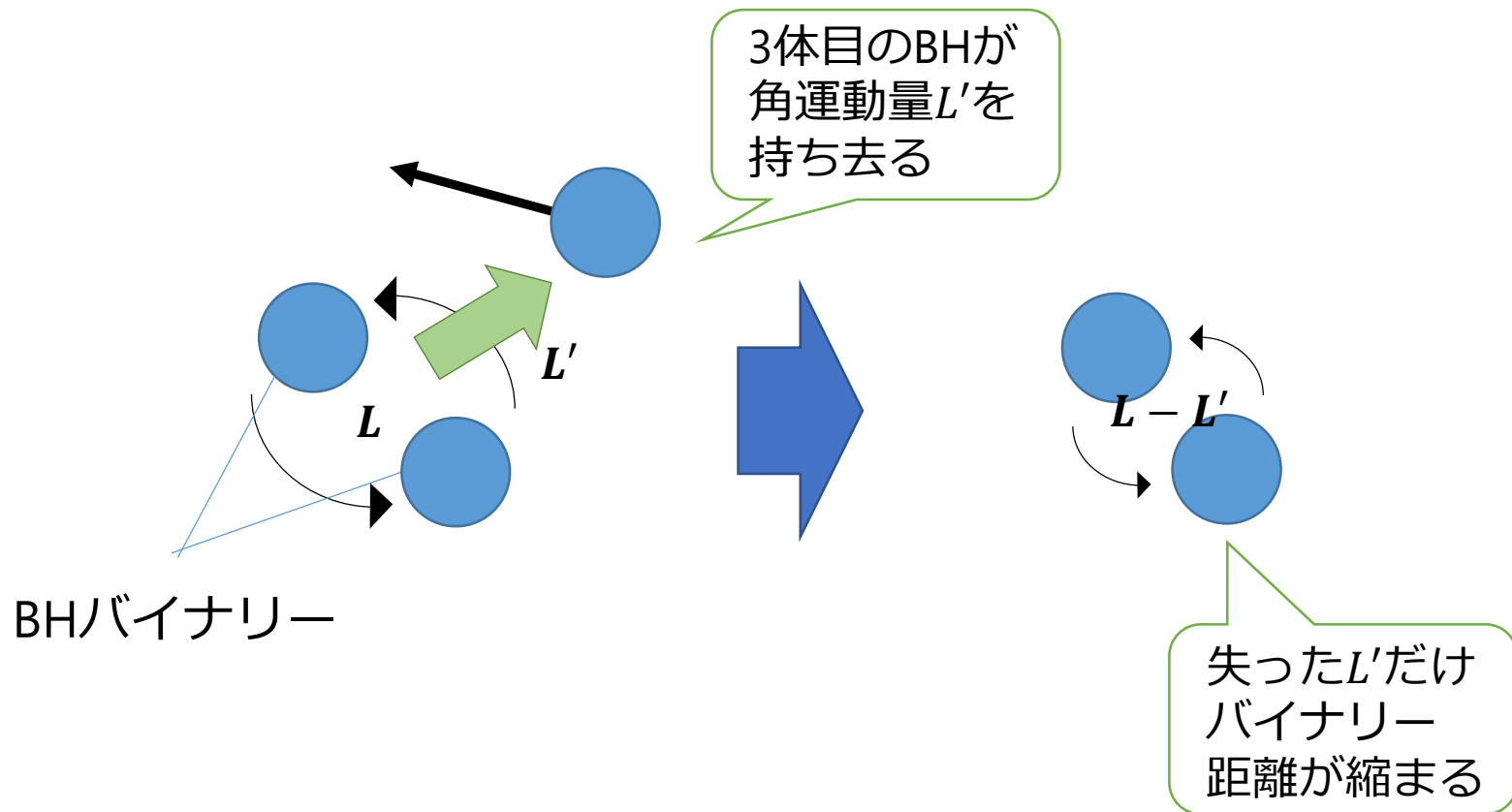
$$f(\mathcal{M}) = \begin{cases} 0.5 \ln \Lambda \left[\text{erf}\left(\frac{\mathcal{M}}{\sqrt{2}}\right) - \sqrt{\frac{2}{\pi}} \mathcal{M} \exp\left(-\frac{\mathcal{M}^2}{2}\right) \right], & \text{for } 0 \leq \mathcal{M} \leq 0.8 \\ 1.5 \ln \Lambda \left[\text{erf}\left(\frac{\mathcal{M}}{\sqrt{2}}\right) - \sqrt{\frac{2}{\pi}} \mathcal{M} \exp\left(-\frac{\mathcal{M}^2}{2}\right) \right], & \text{for } 0.8 \leq \mathcal{M} \leq \mathcal{M}_{\text{eq}} \\ \frac{1}{2} \ln \left(1 - \frac{1}{\mathcal{M}^2}\right) + \ln \Lambda, & \text{for } \mathcal{M}_{\text{eq}} \leq \mathcal{M} \end{cases}$$

... (Tanaka & Haiman 2009)

... (Ostriker 1999)

原理②：BHの3体相互作用

バイナリーを形成している2つのBHにもう1つのBHが突っ込んでくる場合



原理③：相対論効果

BH合体に関わる相対論効果

- 近日点移動
- 重力波放射

BHバイナリー距離が十分小さいところでエネルギーと角運動量を持ち去り、バイナリー距離をさらに縮める

この効果を、**post-Newtonian近似** (Kupi et al. 2006)で与えて計算する。

原理③：相対論効果

post-Newtonian近似 (Kupi et al. 2006)

アインシュタイン方程式を $\varepsilon \equiv (v/c)^2 \ll 1$ で展開して解く手法

$$\begin{aligned}
 \mathbf{a}_{1\text{PN},ij} = \frac{Gm_j}{r_{ij}^2} & \left[\mathbf{n} \left[-v_i^2 - 2v_j^2 + 4\mathbf{v}_i \cdot \mathbf{v}_j + \frac{3}{2}(\mathbf{n}\mathbf{v}_j)^2 \right. \right. \\
 & + 5 \left(\frac{Gm_i}{r_{ij}} \right) + 4 \left(\frac{Gm_j}{r_{ij}} \right) \\
 & \left. \left. + (\mathbf{v}_i - \mathbf{v}_j)(4\mathbf{n}\mathbf{v}_i - 3\mathbf{n}\mathbf{v}_j) \right], \right. \\
 \mathbf{a}_{2\text{PN},ij} = \frac{Gm_j}{r_{ij}^2} & \left[\mathbf{n} \left[-2v_j^4 + 4v_j^2(\mathbf{v}_i \cdot \mathbf{v}_j) - (\mathbf{v}_i \cdot \mathbf{v}_j)^2 \right. \right. \\
 & + \frac{3}{2}v_i^2(\mathbf{n}\mathbf{v}_j)^2 + \frac{9}{2}v_j^2(\mathbf{n}\mathbf{v}_j)^2 - 6(\mathbf{v}_i \cdot \mathbf{v}_j)(\mathbf{n}\mathbf{v}_j)^2 \\
 & - \frac{15}{8}(\mathbf{n}\mathbf{v}_j)^4 + \left(\frac{Gm_i}{r_{ij}} \right) \left[-\frac{15}{4}v_i^2 + \frac{5}{4}v_j^2 \right. \\
 & - \frac{5}{2}\mathbf{v}_i \cdot \mathbf{v}_j + \frac{39}{2}(\mathbf{n}\mathbf{v}_i)^2 - 39(\mathbf{n}\mathbf{v}_i)(\mathbf{n}\mathbf{v}_j) + \frac{17}{2}(\mathbf{n}\mathbf{v}_j)^2 \\
 & + \left(\frac{Gm_j}{r_{ij}} \right) [4v_j^2 + 8\mathbf{v}_i \cdot \mathbf{v}_j + 2(\mathbf{n}\mathbf{v}_i)^2 \\
 & - 4(\mathbf{n}\mathbf{v}_i)(\mathbf{n}\mathbf{v}_j) - 6(\mathbf{n}\mathbf{v}_j)^2] + (\mathbf{v}_i - \mathbf{v}_j) \left[v_i^2(\mathbf{n}\mathbf{v}_j) \right. \\
 & + 4v_j^2(\mathbf{n}\mathbf{v}_i) - 5v_j^2(\mathbf{n}\mathbf{v}_j) - 4(\mathbf{v}_i \cdot \mathbf{v}_j)(\mathbf{n}\mathbf{v}_i) \\
 & + 4(\mathbf{v}_i \cdot \mathbf{v}_j)(\mathbf{n}\mathbf{v}_j) - 6(\mathbf{n}\mathbf{v}_i)(\mathbf{n}\mathbf{v}_j)^2 + \frac{9}{2}(\mathbf{n}\mathbf{v}_j)^3 \\
 & + \left(\frac{Gm_i}{r_{ij}} \right) \left(-\frac{63}{4}\mathbf{n}\mathbf{v}_i + \frac{55}{4}\mathbf{n}\mathbf{v}_j \right) \\
 & \left. \left. + \left(\frac{Gm_j}{r_{ij}} \right) (-2\mathbf{n}\mathbf{v}_i - 2\mathbf{n}\mathbf{v}_j) \right] \right] \\
 & + \frac{G^3 m_j}{r_{ij}^4} \mathbf{n} \left[-\frac{57}{4}m_i^2 - 9m_j^2 - \frac{69}{2}m_i m_j \right],
 \end{aligned}$$

$$\begin{aligned}
 \mathbf{a}_{2\text{SPN},ij} = \frac{4}{5} \frac{G^2 m_i m_j}{r_{ij}^3} & \left[(\mathbf{v}_i - \mathbf{v}_j) \left[-(\mathbf{v}_i - \mathbf{v}_j)^2 \right. \right. \\
 & + 2 \left(\frac{Gm_i}{r_{ij}} \right) - 8 \left(\frac{Gm_j}{r_{ij}} \right) + \mathbf{n}(\mathbf{n}\mathbf{v}_i - \mathbf{n}\mathbf{v}_j) \\
 & \left. \left. \left[3(\mathbf{v}_i - \mathbf{v}_j)^2 - 6 \left(\frac{Gm_i}{r_{ij}} \right) + \frac{52}{3} \left(\frac{Gm_j}{r_{ij}} \right) \right] \right] \right],
 \end{aligned}$$

重力波放射

近日点移動

$$\frac{d^2 \mathbf{r}_i}{dt^2} = \sum_j^{N_{\text{BH}}} \left\{ -Gm_j \frac{\mathbf{r}_i - \mathbf{r}_j}{|\mathbf{r}_i - \mathbf{r}_j|^3} + \mathbf{a}_{\text{PN},ij} \right\} + \mathbf{a}_{\text{DF},i}^{\text{gas}}$$

原理④：質量降着

ある質量 m のBHへの質量降着率 \dot{m} ：

$$\dot{m} = \epsilon \dot{m}_{\text{HL}} = \epsilon \frac{4\pi G^2 m_H n_{\text{gas}} m^2}{(c_s^2 + v^2)^{3/2}}$$

(ϵ ：降着効率、 m_H ：水素原子の質量、 n_{gas} ：ガスの数密度、 c_s ：音速、 v ：BHの速度)

質量降着による加速度 a_{acc} ：

$$a_{\text{acc}} = -\frac{\dot{m}v}{m}$$

質量降着が起こったとき、系の質量と数密度を減らす必要がある。

降着効率 ϵ をパラメータとして計算していく

原理

これらの効果を運動方程式に組み込む

$$\frac{d^2 \mathbf{r}_i}{dt^2} = \sum_j^{N_{\text{BH}}} \left\{ \overbrace{G m_j \frac{\mathbf{r}_i - \mathbf{r}_j}{|\mathbf{r}_i - \mathbf{r}_j|^3}}^{i,j\text{番目のBH同士の重重力相互作用}} + \overbrace{\mathbf{a}_{\text{PN},ij}}^{\text{相対論効果}} \right\} \\ + \overbrace{\mathbf{a}_{\text{acc},i}}^{\text{質量降着}} + \overbrace{\mathbf{a}_{\text{DF},i}}^{\text{粒子の力学的摩擦}} + \overbrace{\mathbf{a}_{\text{pot},i}}^{\text{銀河(disk等)のポテンシャル}}$$

この軌道計算を、Hermite法（4次精度）で行う。

計算手法：Hermite積分法

- 初期位置 x_0 、初速度 v_0 を使って
加速度 a_0 、その時間微分 $a_0^{(1)}$ を求める。

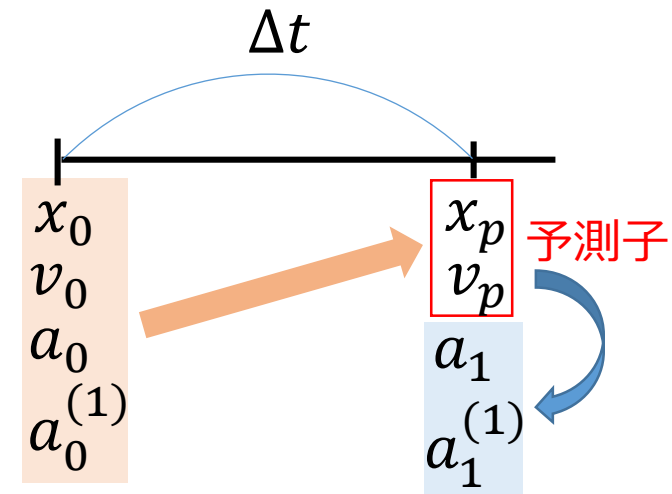
- Δt だけタイムステップするとし、
位置と速度の予測子

$$x_p = x_0 + v_0 \Delta t + \frac{1}{2} a_0 \Delta t^2 + \frac{1}{6} a_0^{(1)} \Delta t^3$$

$$v_p = v_0 + a_0 \Delta t + \frac{1}{2} a_0^{(1)} \Delta t^2$$

を求める。

- 予測子を使って時刻 t_1 での加速度 a_1 と
時間微分 $a_1^{(1)}$ を予測する。



計算手法：Hermite積分法

- 時刻 t での加速度の3次の補間多項式

$$a(t) = a_0 + a_0^{(1)}(t - t_0) + \frac{1}{2}a_0^{(2)}(t - t_0)^2 + \frac{1}{6}a_0^{(3)}(t - t_0)^3$$

から

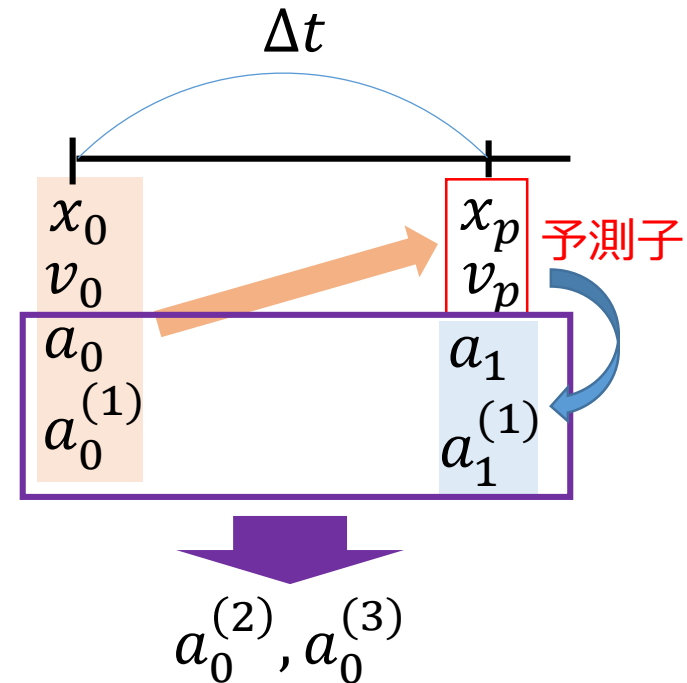
$$a_0^{(2)} = \frac{-6(a_0 - a_1) - \Delta t (4a_0^{(1)} + 2a_1^{(1)})}{\Delta t^2}$$

$$a_0^{(3)} = \frac{12(a_0 - a_1) + 6\Delta t (a_0^{(1)} + a_1^{(1)})}{\Delta t^3}$$

を求めて、修正子を求める。

$$x_c = x_p + \frac{1}{24}a_0^{(2)}\Delta t^4 + \frac{1}{120}a_0^{(3)}\Delta t^5$$

$$v_c = v_p + \frac{1}{6}a_0^{(2)}\Delta t^3 + \frac{1}{24}a_0^{(3)}\Delta t^4$$



計算手法：Hermite積分法

2体間の距離が小さくなれば、相互作用も大きくなる

→単位時間あたりの物理量の変化も大きくなる

→タイムステップを短くする必要がある

$$\Delta t = \sqrt{\eta \frac{|a_1| |a_1^{(2)}| + |a_1^{(1)}|^2}{|a_1^{(1)}| |a_1^{(3)}| + |a_1^{(2)}|^2}}$$

(Makino & Aarseth 1992)

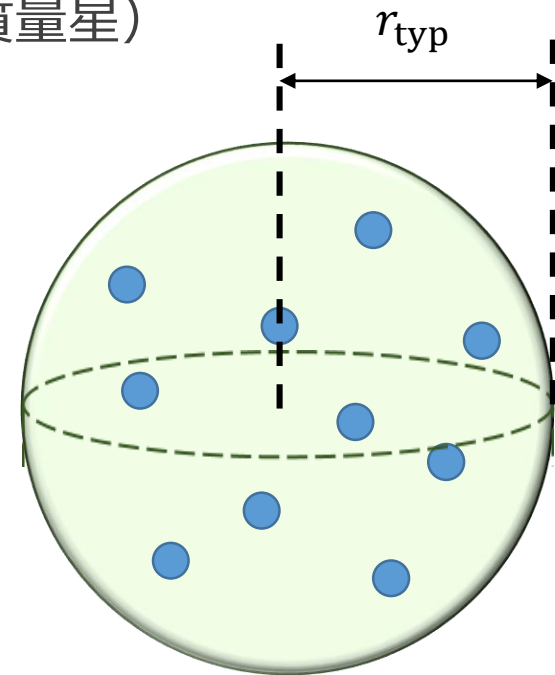
先行研究(Tagawa et al. 2015)

原始銀河中での10体のBHの合体

- $M_{BH} = 30 M_{\odot}$ (初代星残余物)
- $M_{BH} = 10^4 M_{\odot}$ (原始銀河中の超大質量星)
- ガス数密度 $n_{\text{gas}} = 10^4 - 10^{12} \text{ cm}^{-3}$
- BH分布半径 $r_{\text{typ}} = 0.01 - 1.0 \text{ pc}$
- 合体条件：

$$|r_i - r_j| < 100(r_{\text{sch},i} + r_{\text{sch},j})$$

BHのシュヴァルツ
シルト半径



先行研究(Tagawa et al. 2015)

結果、ガスの質量により合体の仕方が3パターン

- タイプA：ガスの力学的摩擦でのみの合体

$$M_{\text{gas}} \geq 10^5 \Sigma M_{\text{BH}}$$

- タイプB：ガスの摩擦と3体相互作用の両方

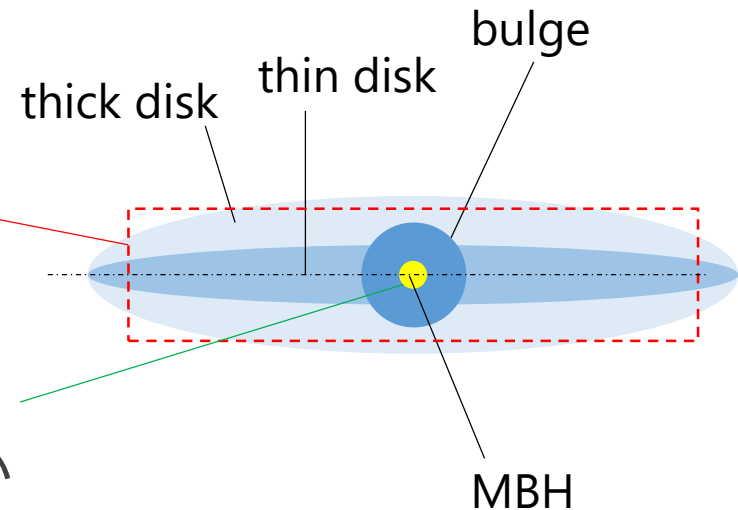
$$M_{\text{gas}} \leq 10^5 \Sigma M_{\text{BH}}$$

- タイプC：3体相互作用での合体

$$M_{\text{gas}} \ll 10^5 \Sigma M_{\text{BH}}$$

本研究の方法

- ① 銀河のスケールから
disk中の星の力学的摩擦
によって中心領域まで
落ちて行けるか
- ② 銀河中心領域から降着円盤中
のガスの力学的摩擦によって
中心MBHと合体して行けるか

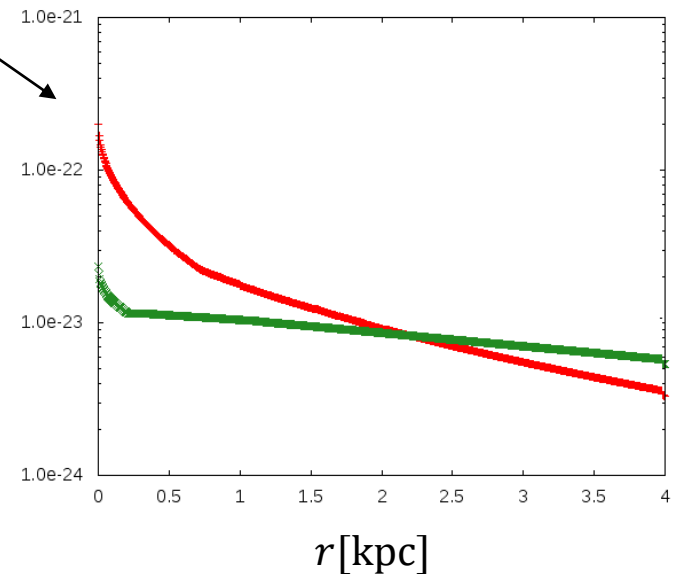


本研究の方法 magi

- 銀河初期条件生成コード magi を用いて
DMH、バルジ、thick disk、thin disk、中心MBHを
置いたときのポテンシャル、密度等を取得

thick diskとthin diskの、
disk面での密度($N = 1024$)

density [g cm^{-3}]



magi (by 三木さん)

球対称成分

Eddington formulaを用いて与える

円盤成分

Potential-density pairを、
Poisson方程式を数値的に解いて求める

本研究の方法

全体質量： $\sim 10^{12} M_{\odot}$

- DMH (NFWモデル)

スケール半径10 kpc、質量 $10^{12} M_{\odot}$

- バルジ (Kingモデル)

スケール半径1 kpc、質量 $5 \times 10^{10}, 5 \times 10^9, 5 \times 10^8 M_{\odot}$

中心集中パラメータ $c = 1.029$

- thick disk (Sersic profile $n = 2$)

スケール半径5 kpc、スケールハイト1 kpc、質量 $2.5 \times 10^{10} M_{\odot}$

- thin disk (Exponential disk)

スケール半径5 kpc、スケールハイト0.5 kpc、質量 $2.5 \times 10^{10} M_{\odot}$

- 中心MBH

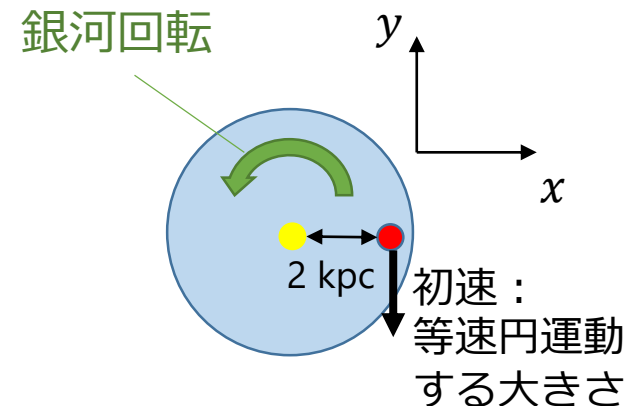
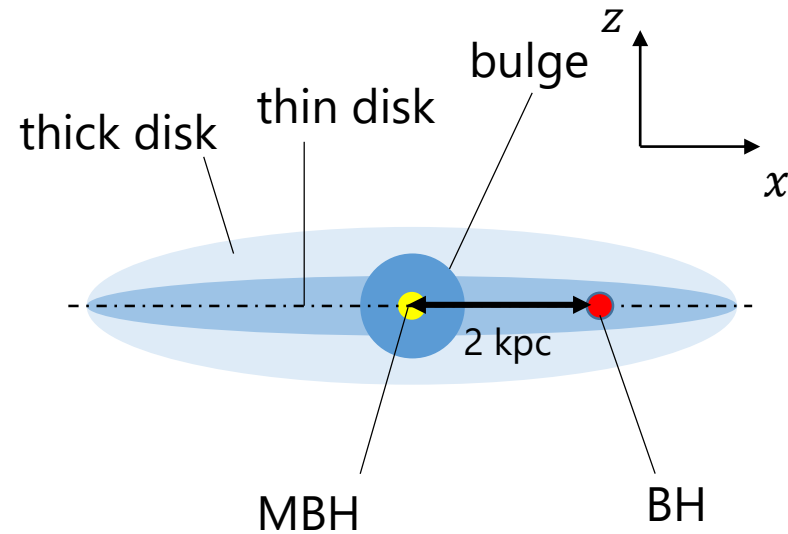
質量 $10^8, 10^7, 10^6 M_{\odot}$

本研究の方法 ①銀河スケール

状況設定

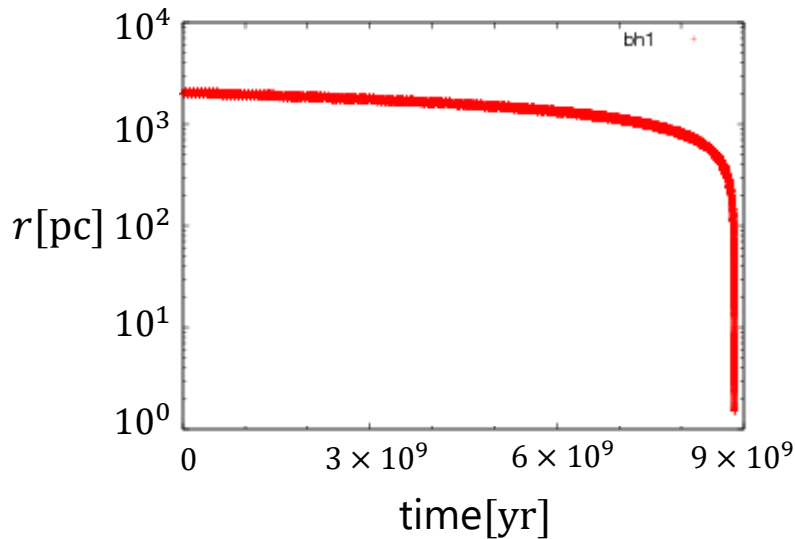
- 中心MBH質量 : $M = 10^8, 10^7, 10^6 M_{\odot}$
- bulge質量 : $500M$ (マゴリアン関係)
- BH質量 m : 中心MBHの5/100以下
- 初速度は、 $x - y$ 平面上で等速円運動する速度 v_0 に、 αv_0 ($\alpha = [-0.1, 0.1]$)の乱数を加える
- magiのpotential-densityデータは、 r 方向に 2kpc範囲内で8192個

この条件で、宇宙年齢 10^{10} yrに達するか、銀河中心領域1 pcまで収縮したら計算終了



本研究の結果 ①銀河スケール

$$M = 10^8 M_{\odot}, m = 10^6 M_{\odot}$$

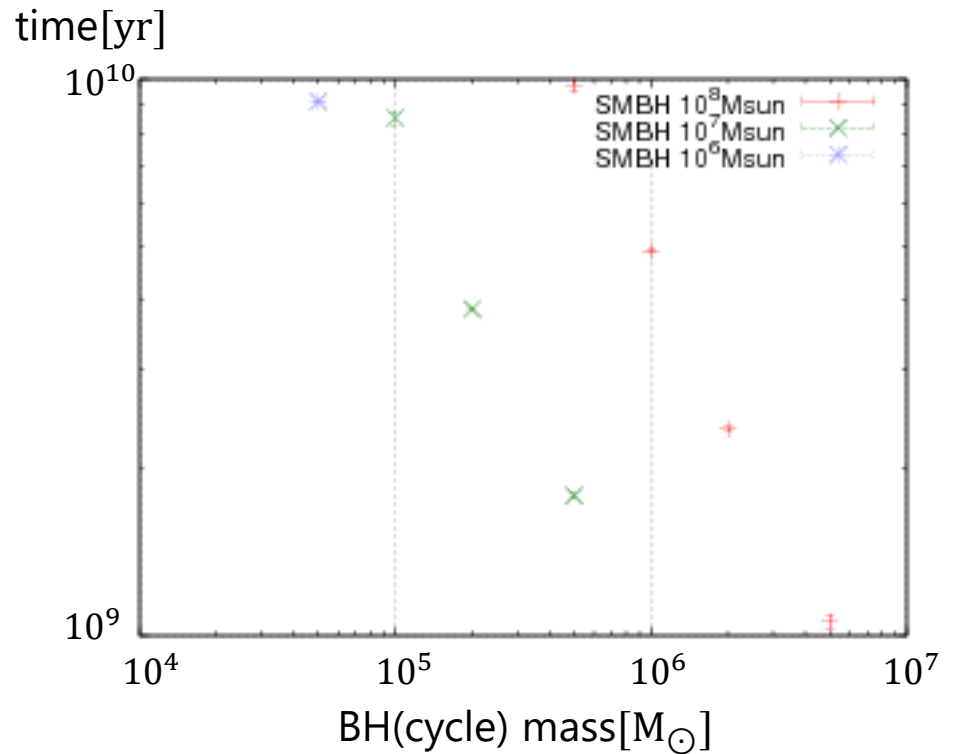


$$a_{\text{DF}}^{\text{star}} = -4\pi G^2 (m_{\text{BH}} + m_s) \rho \ln N \frac{v_{\text{BH}} - v_s}{|v_{\text{BH}} - v_s|^3}$$



星の力学的摩擦による収縮のタイムスケール

$$\tau_s \cong \frac{v^3}{\pi G^2 m \rho \ln N} = 2.04 \times 10^{11} \left(\frac{m}{10^6 M_{\odot}} \right)^{-1} \left(\frac{v}{285 \text{ km s}^{-1}} \right)^3 \text{ yr}$$



本研究の方法 ②銀河中心のガス分布

静水圧平衡の式

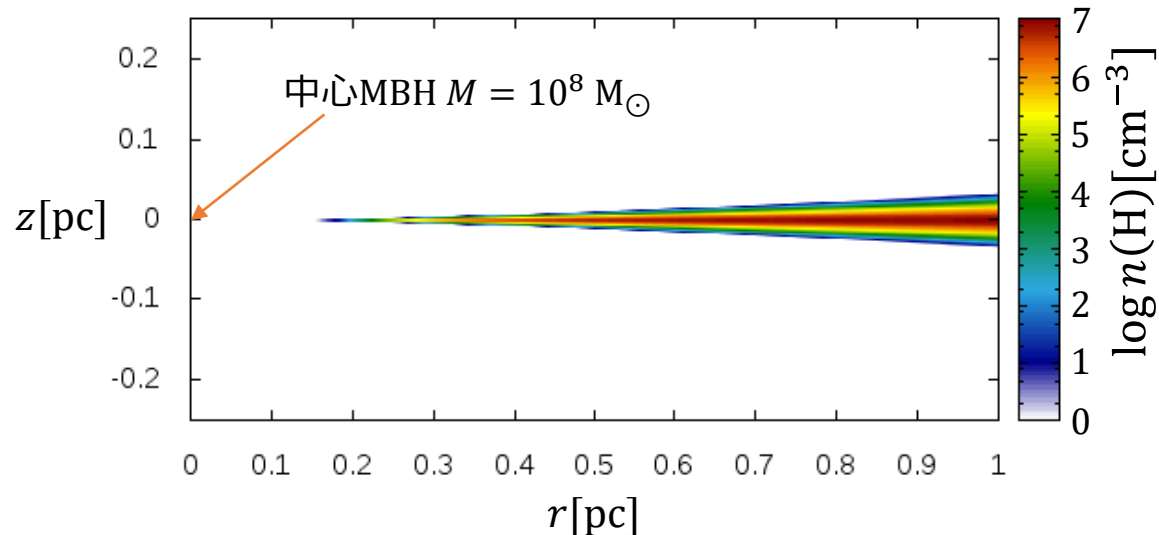
$$0 \sim -\frac{1}{\rho} \frac{dP}{dz} - \frac{GMz}{r^3}$$

実際はdiskのポテンシャルも
考慮に入れて計算する必要が
ある

と状態方程式 $P = nk_B T$ 、 $\rho = m_H n$ から、Hガスの数密度分布は

$$n(r, z) = n_0 \exp\left(-\frac{\alpha z^2}{r^3}\right), \alpha \equiv \frac{GMm_H}{2k_B T}$$

$$n_0 = 10^7 \text{ cm}^{-3}, T = 2000 \text{ K}$$



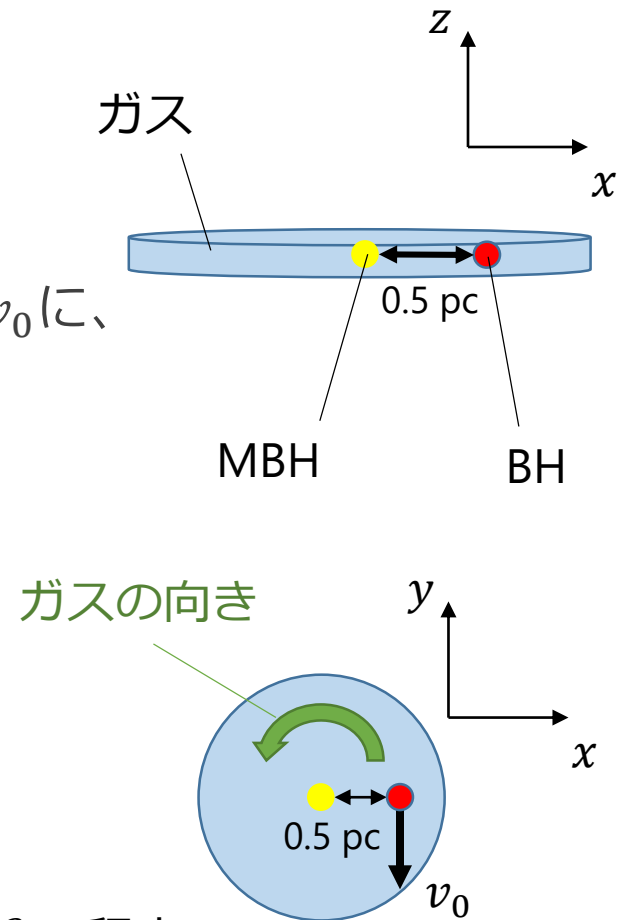
本研究の方法 ②銀河中心領域

状況設定

- 中心MBH質量 : $M = 10^8, 10^7, 10^6 M_\odot$
- bulge質量 : $500M$ (マゴリアン関係)
- BH質量 m は、中心MBHの1/100以下で
- 初速度は、 $x - y$ 平面上で等速円運動する速度 v_0 に、 αv_0 ($\alpha = [-0.1, 0.1]$)の乱数を加える
- 中心軸のガスの数密度 $n_0 = 10^7, 10^8, 10^9 \text{ cm}^{-3}$
- magiのpotential-densityデータは、 r 方向に 1pc範囲内で1024個

この条件で、宇宙年齢 10^{10} yr に達するか、
MBHのシュヴァルツシルト半径の100倍まで
収縮したら計算終了

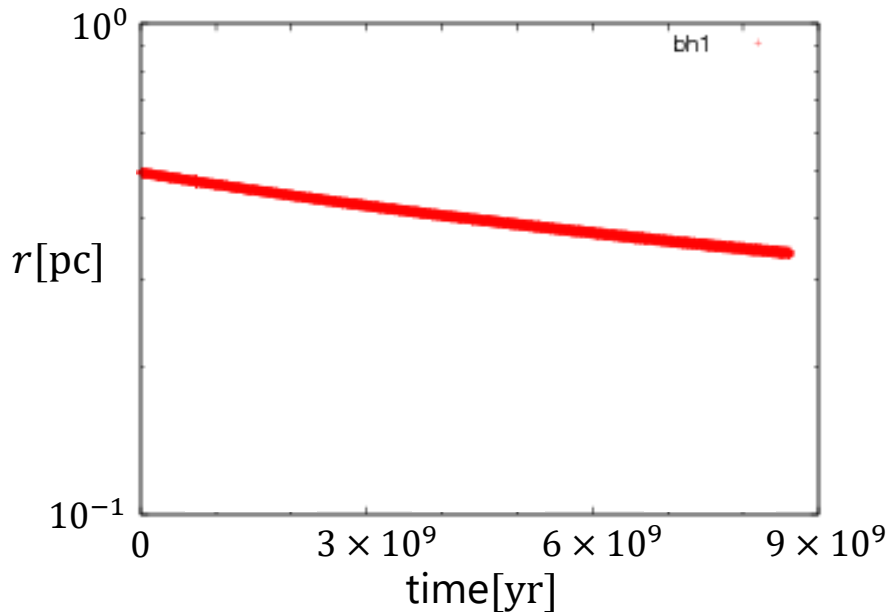
$M = 10^8 M_\odot$ の場合、 10^{-3} pc 程度



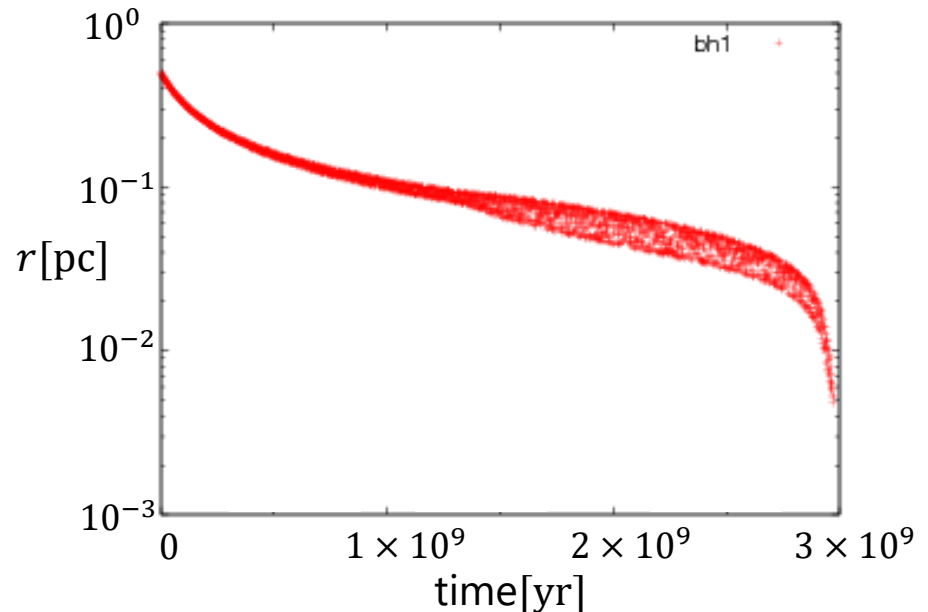
本研究の結果 ②銀河中心領域

$$M = 10^8 M_{\odot}, m = 30 M_{\odot}$$

$$n_0 = 10^7 \text{ cm}^{-3}$$



$$n_0 = 10^9 \text{ cm}^{-3}$$



$$a_{\text{DF}}^{\text{gas}} = -4\pi G^2 m \rho(r) \frac{1}{v^2} \times f(\mathcal{M})$$



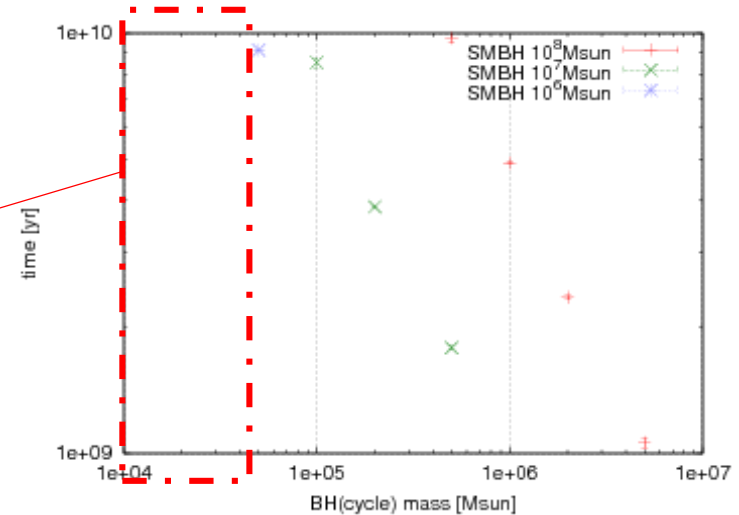
ガスの力学的摩擦による収縮のタイムスケール

$$\tau_{\text{gas}} \cong \frac{M^{3/2}}{4\pi G^{1/2} m \rho r^{3/2}} = 4.52 \times 10^9 \left(\frac{m}{30 M_{\odot}} \right)^{-1} \left(\frac{n_0}{10^9 \text{ cm}^{-3}} \right)^{-1} \text{ yr}$$

今後の研究

- 5体程度のBHで計算し、
3体相互作用によって軌道収縮に
どれくらいの影響を及ぼすのか

摩擦によって軌道収縮しないような
BH質量・ガス密度でも、3体のBHに
よる角運動量の引き抜きで
収縮する可能性



- 質量降着による効果も追加し、
BHへの質量降着によって
軌道収縮にどれくらいの影響を
及ぼすのか

BH質量が大きいほど摩擦も強く効く
ために、より収縮しやすくなる

今後の研究

考えられる合体過程

① 銀河スケール

- a. 銀河スケールの時点でBH同士が合体し、
BH質量を増やして中心領域に落ちる
- b. 銀河スケールの時点ではBH同士が合体せず、
そのまま中心領域に落ちる

② 銀河中心領域

- a. 中心MBHと合体する前にBH同士が合体し、
BH質量を増やして中心MBHと合体する
- b. BH同士が合体しないまま中心MBHと合体する